

- [3] Дедушенко К.Б., Селяков А.С. и др. // Квантовая электроника. 1983. Т. 10. № 9. С. 1733-1738.
- [4] Алферов Ж.И., Гарбузов Д.З. и др. // ФТП. 1987. Т. 21. № 7. С. 824-827.
- [5] Алферов Ж.И., Гарбузов Д.З. и др. // ФТП. 1985. Т. 19. № 8. С. 1108-1110.
- [6] Гарбузов Д.З., Зайцев С.В., Колышкин В.И. и др. // Письма в ЖТФ. 1988. Т. 14. № 2. С. 99-104.
- [7] Saruwatari M., Nawata K. // Appl. Opt. 1979. Т. 18. № 11. Р. 1847-1850.
- [8] Weide E. // Electron Lett. 1975. Т. 11. № 11. Р. 436-439.
- [9] Аренко М.И., Дубовик А.С. Прикладная оптика. М.: Наука, 1982.
- [10] Botez D. // IEEE J. Quantum. Electron. 1988. Т. 24. № 10. Р. 2034-2038.

Физико-технический
институт им. А.Ф. Иоффе
АН СССР, Ленинград

Поступило в Редакцию
8 августа 1990 г.

Письма в ЖТФ, том 16, вып. 20

12 ноября 1990 г.

08

© 1990

НЕЛИНЕЙНЫЕ СДВИГОВЫЕ ВОЛНЫ,
ЛОКАЛИЗОВАННЫЕ У ГРАНИЦЫ РАЗДЕЛА
ДВУХ УПРУГИХ СРЕД

В.И. Горенцвейг, Ю.С. Кившарь,
Е.С. Сыркин

Как известно, поверхностные акустические волны находят широкое применение как в фундаментальных исследованиях, так и в технологических приложениях. Особое внимание привлекают волны, распространяющиеся вдоль границы раздела двух упругих сред. Впервые такие волны исследовались Стоунли [1]; было показано, что они могут существовать лишь в определенной области значений упругих постоянных обеих сред. Подобно волнам Рэлея, волны Стоунли поляризованы в сагиттальной плоскости, не обладают дисперсией скорости, однако глубина их проникновения в одну из сред может значительно превышать длину волны. Помимо волн рэлеевской поляризации представляют интерес волны, поляризованные перпендикулярно сагиттальной плоскости. На плоской границе раздела двух упругих сред, как и в случае свободной поверхности, чисто сдвиговые

поверхностные волны отсутствуют в рамках линейной (и локальной) теории упругости. Учет приповерхностных искажений (капиллярных эффектов) приводит к тому, что волны чисто сдвиговой (SH) поляризации становятся слабо локализованными как в случае свободной поверхности [2–4], так и вблизи плоского дефекта в кристалле [5]. Особое влияние на свойства поверхностных волн оказывает учет нелинейности. В случае свободной поверхности нелинейность приводит к возникновению нового типа поверхностных волн, их локализация определяется величиной амплитуды волны на поверхности [6–8]. В настоящей работе исследованы волны SH -поляризации, локализованные у границы раздела двух нелинейных (или линейной и нелинейной) упругих сред. Показано, в частности, что волны такого типа могут существовать при вполне определенных условиях, связывающих линейные и нелинейные параметры; в отличие от волн Стоунли, они возникают пороговым образом при превышении максимумом амплитуды некоторого критического значения. Локализация этих волн вблизи границы раздела всецело обусловлена нелинейностью и может быть порядка нескольких длин волн.

Исходим из уравнения нелинейной теории упругости для проекции смещения в чисто сдвиговой акустической волне [9] в каждой из двух граничащих сред (с параметрами $\rho_1, \mu_1, \alpha_1, \beta_1$ и $\rho_2, \mu_2, \alpha_2, \beta_2$):

$$c^{-2}u_{tt} = u_{xx} + u_{zz} + (\alpha u_x^2 + \beta u_z^2) u_{xx} + \\ + (\beta u_x^2 + \alpha u_z^2) u_{zz} + 4\beta u_x u_z u_{xz}, \quad (1)$$

где $c = \left(\frac{\mu}{\rho}\right)^{1/2}$ – поперечная скорость звука, ρ – плотность среды, μ – модуль сдвига (нумеруем среды так, что $\mu_1 > \mu_2$); α и β – безразмерные постоянные, связанные с упругими модулями 2-го, 3-го и 4-го порядков изотропной среды или кубического кристалла (см., например, [8, 9]), величина их может быть $\sim 10^3$ (см. [10]); индексы t, x, z означают производные по соответствующим переменным (ось z направлена по нормали к плоской границе раздела сред $z=0$ внутрь 1-й среды; вектор смещения \vec{u} направлен вдоль оси y , u – его проекция на нее; волна распространяется вдоль оси x). На границе раздела сред должны выполняться равенства смещений

$$u|_{z=+0} = u|_{z=-0}, \quad (2a)$$

и нелинейных напряжений [9]

$$\mu_1 u_z (1 + \beta_1 u_x^2 + \frac{1}{3} \alpha_1 u_z^2) |_{z=+0} = \mu_2 u_z (1 + \beta_2 u_x^2 + \frac{1}{3} \alpha_2 u_z^2) |_{z=-0}, \quad (2b)$$

а в глубине сред – условие затухания

$$u \rightarrow 0 \text{ при } |z| \rightarrow \infty. \quad (3)$$

Решение уравнения (1) ищем в виде $u = \frac{i}{2}U(z)\exp(i(kx - \omega t)) + K.c.$

Для вещественной амплитуды $U(z)$ при условиях ее медленности

и достаточной малости деформаций ($|\mathcal{U}_z|^2 \ll (k\mathcal{U})^2 \ll |\alpha|^{-1}$) и при $|\beta| \lesssim |\alpha|$ получается стационарное нелинейное уравнение Шредингера (см. [6, 8]):

$$\mathcal{U}_{zz} + (\omega^2/c^2 - k^2)\mathcal{U} - \frac{1}{4}\alpha k^4 \mathcal{U}^3 = 0. \quad (4)$$

с граничными условиями (из (2))

$$\mathcal{U}|_{z=+0} = \mathcal{U}|_{z=-0}, \quad \mu_1 \mathcal{U}_z|_{z=+0} = \mu_2 \mathcal{U}_z|_{z=-0}. \quad (5)$$

Первый интеграл уравнения (4), удовлетворяющий условию (3), имеет вид

$$\mathcal{U}_z^2 + (\omega^2/c^2 - k^2)\mathcal{U} - \frac{\alpha}{8}k^4 \mathcal{U}^4 = 0. \quad (6)$$

С помощью (6) можно выяснить возможные случаи удовлетворения условий (5), найти вид решения и соотношения для его параметров; при этом в данной работе рассмотрим ситуацию, когда $\mu_1 > \mu_2$.

1. $\alpha_1, \alpha_2 < 0$ (две среды с самофокусировкой); при этом должно быть $|\alpha_1| > |\alpha_2|$. Решение (см. рис. 1) в обеих средах имеет вид:

$$\mathcal{U} = \mathcal{U}_{1,2} \operatorname{sech} \left[\sqrt{-\alpha_{1,2}/8} k^2 \mathcal{U}_{1,2} (z - z_{1,2}) \right]. \quad (7)$$

Максимум расположен в 1-й среде на глубине z_1 ($z_{1,2} > 0$), его значение $\mathcal{U}_m = \mathcal{U}_1$. (При расположении максимума во 2-й среде ($z_{1,2} < 0$, $\mathcal{U}_m = \mathcal{U}_2$) волна оказывается неустойчивой относительно малого возмущения его положения, что можно показать аналогично [11]). Величина максимума должна быть не меньше определенного порогового значения \mathcal{U}_{th1} :

$$\mathcal{U}_m \geq \mathcal{U}_{th1} = k^{-1} \left[8(c_1^2 - c_2^2) / (\alpha_2 c_2^2 - \alpha_1 c_1^2) \right]^{1/2}, \quad (8)$$

при равенстве которому максимум располагается на границе раздела.

Если считать \mathcal{U}_m свободным параметром решения, то закон дисперсии выражается в виде

$$\omega^2 = c_1^2 k^2 \left(1 + \frac{\alpha_1}{8} k^2 \mathcal{U}_m^2 \right) \quad (9)$$

(таком же, как и в случае одной среды со свободной границей [6, 8], когда максимум достигается на границе). Значение амплитуды на границе

$$\mathcal{U}_0 = \frac{1}{k} \left[8 \frac{\mu_2^2 (\omega^2/c_2^2 k^2 - 1) - \mu_1^2 (\omega^2/c_1^2 k^2 - 1)}{\mu_2^2 \alpha_2 - \mu_1^2 \alpha_1} \right]^{1/2} \quad (10)$$

(отметим, что в случае $c_1/\mu_1 > c_2/\mu_2$ оно не может превышать величину \mathcal{U}_{th1} , а в обратном случае не может быть меньше

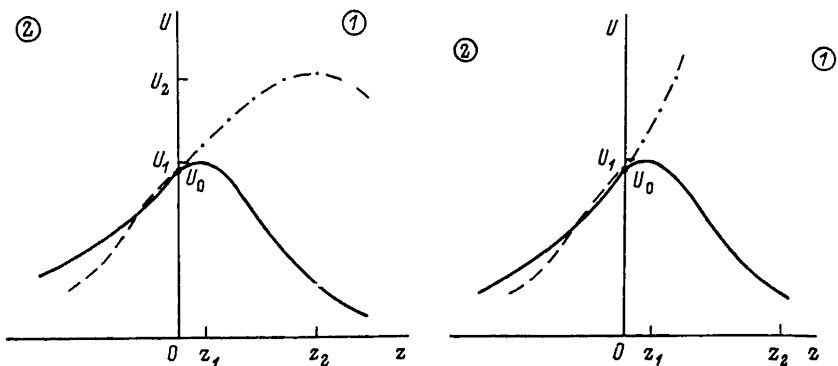


Рис. 1. Профиль волны, локализованной вблизи границы раздела двух фокусирующих нелинейных сред ($c_1 > c_2$, $\mu_1 > \mu_2$).

Рис. 2. Профиль волны, локализованной вблизи границы раздела фокусирующей (1) и дефокусирующей (2) нелинейных сред ($c_1 > c_2$, $\mu_1 > \mu_2$).

ее). Параметр U_2 в (7) ($U_2 > U_1$) может быть найден по частоте ω с помощью выражения вида (9) (с U_2 вместо U_m и индексом 2 вместо 1). Величины $z_{1,2}$ могут быть найдены из (7) с подстановкой в него $z=0$, $U=U_0$.

2. $\alpha_1 < 0$, $\alpha_2 > 0$ (1-я среда фокусирующая, 2-я – дефокусирующая). Решение (см. рис. 2) в 1-й среде имеет вид (7) (с индексом 1), а во 2-й среде

$$U = U_2 \operatorname{cosech} [\sqrt{\alpha_2/8} k^2 U_2 (z_2 - z)] \quad (11)$$

Максимум, как и в случае 1, расположен в 1-й среде на глубине z_1 и его величина $U_m = U_1$. Выражение для ее порогового значения отлично от (8):

$$U_m \geq U_{th2} = k^{-1} \left[8(1 - c_2^2/c_1^2) / (-\alpha_1) \right]^{1/2} \quad (12)$$

Закон дисперсии имеет вид (9). Значение амплитуды на границе дается выражением (10); в случае $c_1/\mu_1 > c_2/\mu_2$ оно не может превышать величину

$$k^{-1} \left[8(1 - c_2^2/c_1^2) / (\alpha_2 - \alpha_1) \right]^{1/2} < U_{th2},$$

а в обратном случае не может быть меньше ее. Величины U_2 , $z_{1,2}$ находятся так же, как и в случае 1. При $U_m \rightarrow U_{th2}$ величина $U_2 \rightarrow 0$ и (11) превращается в зависимость

$$U = \left[\sqrt{\alpha_2/8} k^2 (z_2 - z) \right]^{-1}.$$

3. $\alpha_1 < 0$, $\alpha_2 = 0$ (1-я среда нелинейная фокусирующая, 2-я - линейная); этот случай можно рассматривать как предельный для случая 2 (или 1) при $\alpha_2 \rightarrow 0$. При этом решение во 2-й среде вместо (11) (или (7)) имеет вид

$$U = U_0 \exp\left(\sqrt{k^2 - \omega^2/c^2} z\right). \quad (13)$$

Во всех случаях глубина затухания волны в 1-й среде (см. (7)) $l_1 = (\sqrt{-\alpha_1}/2 k^2 U_m)^{-1}$, а глубина затухания во 2-й среде $l_2 > l_1$ и определяется по l_1 , в зависимости от величины отношения $(c_2/c_1) < 1$ (при $(c_2/c_1) \rightarrow 1$ имеем: $l_2 \rightarrow l_1$). При $|\alpha_1| \leq 3 \cdot 10^3$ (см. [10]) и в пределах прочности ($kU \leq 10^{-3}$) имеем: $l_1 \gtrsim 50/k$ так что условие малости деформаций и медленности амплитуды $U(z)$ ($l^{-2} \ll k^2$) выполняется. При этом пороговое неравенство ((8) или (12)) накладывает ограничение на отношение скоростей звука при фиксированном U_m (напр., в случае 1 из (8) имеем: $(c_2/c_1)^2 \geq [1 - (kl_1)^{-2}] / [1 - \alpha_2/(k l_1)^{-2}]$).

При приближении отношения (c_2/c_1) к граничному значению в случае 3 имеем: $l_2 \rightarrow \infty$, т.е. волна во второй среде теряет поверхностный характер, а в случаях 1 ($l_2 \rightarrow (\alpha_1/\alpha_2)^{1/2} l_1$) и 2 ($l_2 \rightarrow (1 + |\alpha_1|/\alpha_2)^{1/2} l_1$) этого не происходит.

Список литературы

- [1] Уайт Р.М. // ТИИЭР. 1970. Т. 58. № 8. С. 68-111.
- [2] Красильников В.А., Крылов В.В. // Введение в физическую акустику. М.: Наука, 1981.
- [3] Velasco V.R., Garcia-Molinero F. // Physica Scripta. 1973. V. 20. N 1. P. 111-122.
- [4] Гельфгат И.М. // ФТТ. 1980. Т. 22. № 9. С. 2815-2816.
- [5] Косевич Ю.А., Сыркин Е.С. // Кристаллография. 1988. Т. 33. № 6. С. 1339-1346.
- [6] Mozhayev V.G. // Phys. Lett. A. 1989. V. 139. N 7. P. 333-336.
- [7] Косевич Ю.А. // ФТТ. 1990. Т. 32. № 5.
- [8] Gorentsveig V.I., Kivshar Yu.A., Kosevich A.M., Syrkin E.S. // Phys. Lett. A. 1990. V. 144. N 8, 9. P. 479-486.
- [9] Maradudin A.A. // In: Physics of Phonons, ed. by Paszkiewich T., Springer - Verlag, Berlin, 1987. 82 p.
- [10] Nakagawa V. // Jap. J. Appl. Phys. Suppl. 1983. V. 22. N 3. P. 157-159.
- [11] Kivshar Yu.S., Kosevich A.M., Chubykalo O.A. // Phys. Rev. A. 1990. V. 41. N 3. P. 1677-1688.

Физико-технический
институт низких температур
АН УССР

Поступило в Редакцию
3 февраля 1990 г.

Письма в ЖТФ, том 16, вып. 21

12 ноября 1990 г.

03; 1.1

© 1990

РЕГИСТРАЦИЯ НЕЙТРОНОВ И ТРИТИЯ
ИЗ МАССИВНОЙ ПАЛЛАДИЕВОЙ МИШЕНИ
ПРИ ЭЛЕКТРОЛИТИЧЕСКОМ НАСЫЩЕНИИ ДЕЙТЕРИЕМ

П.И. Голубничий, Е.П. Ковалчук,
Г.И. Мерзон, А.Д. Филоненко,
В.А. Царев, А.А. Царик

Сообщения [1, 2] о наблюдении ядерной эмиссии (нейтронов, трития) из палладиевых и титановых образцов, насыщенных дейтерием, инициировали поток работ, имевших целью проверку эффекта и выяснение его механизма. К настоящему времени, несмотря на большое число публикаций (см., например, обзор [3]), природа „низкотемпературного ядерного синтеза“ (НТС) и многие его особенности остаются неясными.

Начиная с апреля 1989 г. нами проводилась серия экспериментов по изучению различных аспектов этого явления и проверке предсказаний „ускорительной“ модели НТС [4, 5]. В настоящей работе представлены результаты первой части исследований, относящиеся к регистрации нейтронов и трития при электролитическом насыщении палладия дейтерием. Использовались две экспериментальные установки. Одна из них представляла собой открытый электролизер с цилиндрическим палладиевым катодом длиной 7 см, массой 13 г и площадью поверхности около 10 см^2 , изготовленным методом восстановления $PdCl_2$. Электролит-раствор $LiClO_4$ в D_2O с концентрацией 0.1 моль/л и объемом 20 мл. Предусматривалась одновременная и независимая регистрация нейтрона до и после его замедления. Счетчик быстрых нейтронов (СБН) был изготовлен на основе стандартного пластического сцинтилятора. Счетчик медленных нейтронов (СМН) содержал замедлитель и сборку из 10 стандартных нейтронных детекторов СМН-18. Установка экранировалась от электромагнитных наводок сплошным заземленным алюминиевым кожухом. Для повышения достоверности детектирования нейтронов был реализован т.н. „быстро-медленный“ (БМ) метод